ANÁLISE DO FENÔMENO DE PROPAGAÇÃO DE TRINCA POR FADIGA ISOTÉRMICA DO MODELO DE TAIRA VIA METODOLOGIA FAST CRACK BOUNDS

Discente: Luan Gustavo BAUMGAERTNER

Professor orientador: Bruno dos Santos

luanbaumga@gmail.com

**RESUMO** 

Componentes mecânicos submetidos a esforços e variações térmicas estão sujeitos ao fenômeno da fadiga, principal responsável pelos colapsos estruturais na indústria mecânica. Essas fraturas ocorrem de forma frágil e acarretam acidentes fatais, de elevado custo financeiro, ambiental e social. Em uma peça submetida à fadiga, inicialmente, ocorre a nucleação da trinca seguida de sua propagação e, por fim, ruptura, processo que é denominado como vida em fadiga de um componente. Para prescrever a vida em fadiga, são usados métodos numéricos para obtenção da curva de evolução de trinca, de forma que, por meio de iterações, resultam em solução acurada e de elevado custo computacional. O objetivo do trabalho é estabelecer cotas que envelopam a solução numérica utilizando a metodologia Fast Crack Bounds (FCB), buscando reduzir o tempo computacional. A viabilidade da solução proposta será realizada por intermédio da combinação do método FCB e da solução numérica de Runge Kutta de quarta ordem (RK4). Como resultado, foi comprovada a eficiência computacional do modelo de Taira aplicado à metodologia FCB em 3259,06 vezes mais rápido que o tempo obtido pela solução numérica de RK4, para o exemplo clássico de placa com largura infinita e trinca central.

**Palavras chave**: Fadiga térmica, mecânica da fratura linear elástica, Fast Crack Bounds, Modelo de Taira, Runge Kutta de quarta ordem

1. INTRODUÇÃO

As estruturas na engenharia mecânica são submetidas a cargas variáveis no tempo; essas alternâncias de carregamento cíclico provocam o fenômeno da fadiga (DA ROSA, 2002). Segundo Callister (2002), o fenômeno da fadiga representa cerca de 50 a 90% dos colapsos mecânicos, efetivando-se como um desafio para a previsibilidade de eventos, associados à falha mecânica dos componentes.

Segundo a ASTM (2000), define-se a fadiga como o processo de degradação progressiva, localizada e permanente, que ocorre nos materiais, os quais estão submetidos a ações de tensões e deformações de modo cíclico, que provocam a nucleação das trincas e, posteriormente, sua completa fratura. Sendo classificada em fadiga mecânica, de contato e térmica.

As falhas por fadiga térmica são encontradas em usinas termoelétricas, cilindros de laminação, motores diesel, turbinas de aeronaves entre outras tantas aplicações (JUNIOR, 2006). Frente a isso, modelos matemáticos foram criados para analisar a vida em fadiga de um material sob esforço cíclico, a fim de reduzir os custos financeiros e sociais que essas falhas podem acarretar.

Os modelos de propagação de trinca, em geral, são desenvolvidos a partir de um problema de valor inicial (PVI), obtidos empiricamente por meio da análise de um determinado material, por intermédio de ensaios que consideram a composição química, resistência mecânica e a geometria da trinca (VIRKUNNEN, 2001). Diante disso, faz-se necessário o uso de métodos numéricos para encontrar a solução numérica aproximada, sendo que o método mais utilizado atualmente é o de Runge-Kutta, de quarta ordem (RK4), o qual requer grande esforço computacional (SANTOS,2019).

Com o objetivo de contornar esse problema, Ávila *et* al. (2016) propõem a metodologia Fast Crack Bounds (FCB), a qual introduz funções de cota superior e inferior para a função de crescimento de trinca, envelopando o comportamento das soluções dos modelos de propagação de trinca (SANTOS, 2019). Dessa forma, a metodologia fornece uma análise da vida útil de um componente submetido à fadiga térmica, otimizando os recursos computacionais envolvidos.

O presente trabalho tem como objetivo o desenvolvimento da metodologia FCB para o modelo de Taira. Para isso, desenvolvem-se funções de cotas, que são obtidas a partir da expansão em série de Taylor, retendo termos de segunda ordem com resto de Lagrange. Encontradas as funções de cota, compara-se o tempo computacional de método FCB com o método tradicional de RK4.

### 2. MECÂNICA DA FRATURA LINEAR ELÁSTICA

A mecânica da fratura (MF) considera que elementos mecânicos, ainda que não submetidos a solicitações, possuem trincas, tendo como objetivo determinar se essas trincas podem levar o componente analisado ao colapso dentro das tensões de trabalho. É

dividida em: Mecânica da Fratura Elasto-Plástica (MFEP) e Mecânica da Fratura Linear Elástica (MFLE),(SANTOS 2019).

A MFLE é baseada em procedimentos analíticos, em que são relacionadas à magnitude e à distribuição de tensões encontradas na vizinhança da ponta da trinca com a tensão nominal aplicada ao componente, dimensão e geometria da trinca. Dessa forma, a MFLE tem como base os fundamentos da teoria da elasticidade (ANDERSON, 2005) e, segundo Bannatine et al. (1989), desenvolve-se a partir das seguintes hipóteses:

- (H1). Existência de uma trinca;
- (H2). Material elástico linear, isotrópico e homogêneo;
- (H3). Pequenas deformações;
- (H4). Estado plano;
- (H5). Modos de carregamento.

Com as hipóteses de trabalho conhecidas, são definidas as tensões de trabalho obtidas nas proximidades da trinca, conforme figura 1.

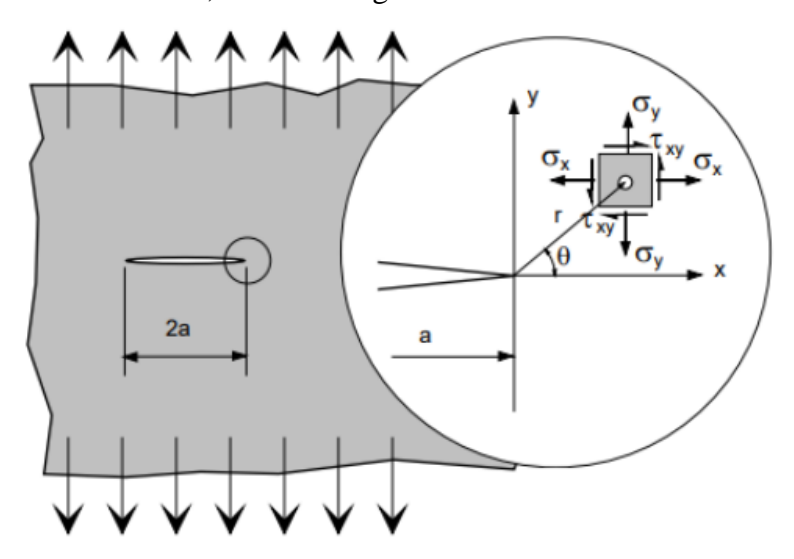


Figura 1: Tensões na vizinhança do vértice da trinca

Fonte: Adaptado de Schivje (2009).

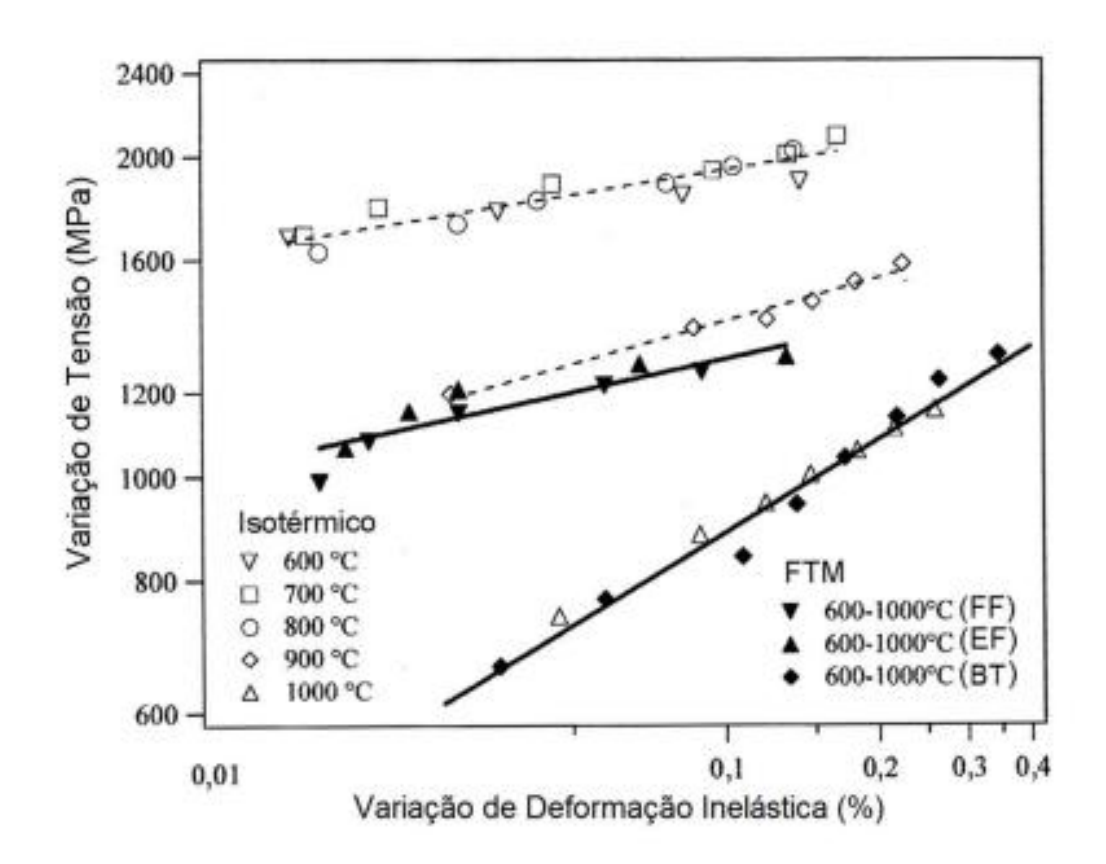
As tensões presentes na frente da ponta da trinca responsáveis pela sua propagação são tensões normais representadas por " $\sigma$ " referindo-se às solicitações normais que, quando aplicadas ao material, produzem as tensões cisalhantes representadas por " $\tau$ ".

### 2.1 FADIGA TÉRMICA

A fadiga térmica é definida como a degradação progressiva que ocorre em um componente devido a trincas em seu interior oriundas de ciclos térmicos de aquecimento

e resfriamento (SPERA, 1976). Classificada como uma fadiga de baixo ciclo, ocorre em uma ordem de grandeza de ciclos inferior a dez elevado à oitava (CARDOSO, 2016).

A fadiga de baixo ciclo é classificada em dois tipos, como apresentado na figura 2, a saber, fadiga térmica, se a temperatura não for constante ao longo do tempo, ou isotérmica, se a temperatura for constante ao longo do tempo.



**Figura 2**: Curvas de tensão-deformação cíclicas isotérmicas e termomecânicas. **Fonte**: Adaptado de Engler-Pinto Junior e Spinelli (2014).

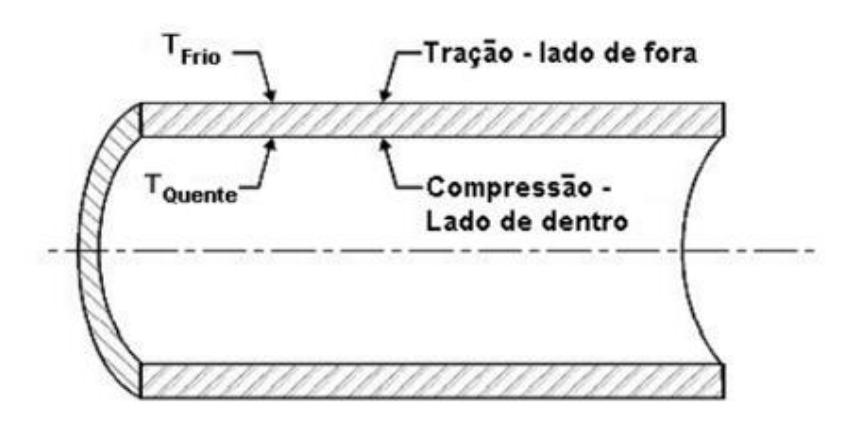
Diante disso, observa-se a diferença, no gráfico isotérmico, em relação à temperatura, visto que não varia sua amplitude, em comparação ao gráfico da fadiga termomecânica (FTM). Há um *range* de temperatura, ora atingindo 600°C, ora 1000°C; em outras palavras, a amplitude de temperatura é variável.

Na fadiga isotérmica, a força motriz do processo de propagação de trincas é a contração e expansão térmica, oriundas dos ciclos térmicos.

## 2.2 CONTRAÇÃO E EXPANSÃO TÉRMICA

Os materiais mecânicos, quando expostos a alguma variação de temperatura, sofrem dilatações ou contrações térmicas. Quando o processo de dilatação é restringido, ocorre o surgimento de tensões internas no material, denominadas como tensões térmicas.

A propagação de trincas ocorre pela alternância de tensões devido à aplicação de ciclos de temperatura. As tensões térmicas oriundas dos ciclos de temperatura aliadas a variações locais de propriedade dentro do metal resultam em restrições locais, como mostrado na figura 3. Ao mesmo tempo em que a restrição do sistema é proporcionada pela própria rigidez do próprio material, quando a dilatação do material é impedida por esses motivos, há uma progressão da trinca (JUNIOR, 2006).



**Figura 3**: Efeito da restrição local dentro da tubulação devido ao fenômeno da Fadiga térmica.

Fonte: Adaptado de Deardoff (2004).

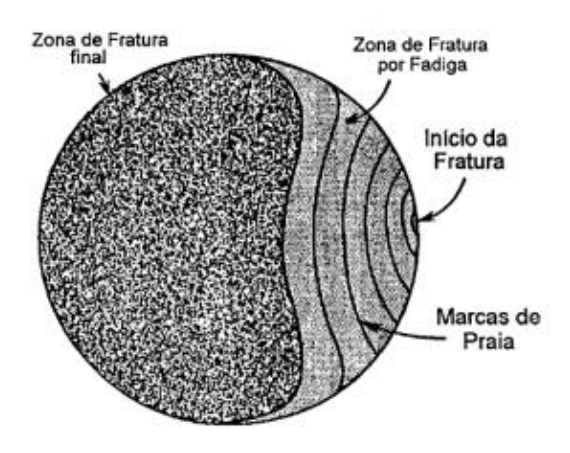
A figura 3 ilustra o comportamento de um duto metálico, no qual, na região interna, a alta temperatura tende a expandir o material já pelo lado externo; com baixa temperatura, gera uma tensão de reação que restringe o movimento de expansão fazendo com que a parede seja comprimida. Esse gradiente de tensões tende a iniciar a propagação onde há trinca e essa propagação é descrita em 3 etapas, a saber: nucleação, propagação e fratura, conforme figura 4.

#### 2.3 ETAPAS DA FADIGA

Inicia-se a nucleação na superfície do material e sua propagação ocorre a aproximadamente 45° do eixo de tensões, provocando o crescimento da trinca de forma

ainda microscópica a uma escala de micrometros por ciclo, as quais ficam alojadas na estrutura cristalográfica do material (RIVA 2004).

A segunda etapa é caracterizada pela propagação da trinca, saindo da escala microscópica para escala macroscópica, em que a estrutura cristalográfica perde o efeito sobre a propagação, substituindo-se pelas tensões aplicadas (ROSA, 2002).



**Figura 4**: Representação esquemática das etapas da fadiga **Fonte**: Adaptado de Reed-Hill (1982).

Por fim, na terceira etapa, ocorre a ruptura do material, caracterizando-se como uma ruptura frágil, com tensões abaixo da tensão de escoamento do componente, conforme figura 5.

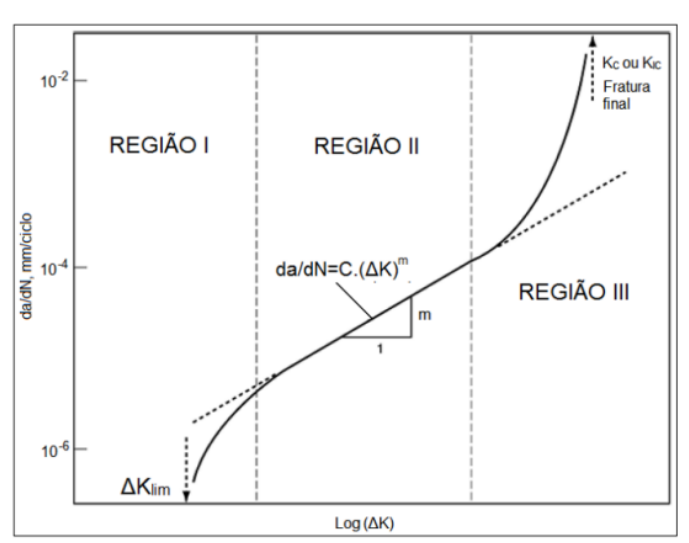


Figura 5: Diagrama log da/dN pelo log (△K)

Fonte: Adaptado de ASM handbook (1998).

O crescimento da trinca por número de ciclos "da/dN", em função do elemento forçante " $\Delta K$ ", é representado pela equação 1 (SANTOS, 2019),

$$\Delta K = \sqrt{\pi a f(a)} \, \Delta_{\sigma} \tag{1}$$

Na equação 1, "f(a)" é a função "tamanho de trinca", " $\Delta \sigma$ " como a tensão aplicada sobre o material e "a" a dimensão inicial da trinca.

A fim de prescrever a vida em fadiga, foram desenvolvidos modelos matemáticos para as três fases.

## 2.4 MODELOS MATEMÁTICOS PARA PROPAGAÇÃO DE TRINCA

Os modelos matemáticos para o cálculo de propagação de trinca surgiram para prescrever a vida em fadiga de um determinado componente, para que, assim, fossem tomadas contramedidas, a fim de evitar prejuízos sociais e econômicos.

O modelo de Paris-Erdogan, para a região II do gráfico apresentado na figura 5, é usado para prescrever a vida em fadiga de componentes submetidos à fadiga mecânica representada pela equação 2.

$$\frac{da}{dN} = C * \Delta K^m \tag{2}$$

Porém, o modelo de Paris considera as tensões aplicadas, tornando-se ótimo para prescrição da vida em fadiga por carregamento mecânico, entretanto, falha quando observado do ponto de vista térmico. Com esse intuito, Taira (1976), adaptando o modelo, passa a considerar as deformações das amostras resultando no modelo a seguir.

### 2.4.1 MODELO DE TAIRA

O modelo de Taira é uma derivação do modelo de Paris, porém, ao invés de levarmos em conta a variação das tensões axiais, são consideradas as deformações elásticas e plásticas do material, obtendo a seguinte equação:

$$\frac{da}{dN} = C \left[ \left( \frac{\Delta \varepsilon}{\varepsilon_f} \right) * (\pi * a)^{\frac{1}{2}} \right]^m$$
 [3]

Desse modo, "C" e "m" são constantes empíricas do material; "a" como tamanho de trinca e "ε" como a deformação do material. Essa é uma equação diferencial, de maneira que são necessários métodos numéricos para sua resolução.

### 2.4.2 MÉTODO NUMÉRICO RUNGE-KUTTA DE QUARTA ORDEM

São denominadas equações diferenciais aquelas que possuem derivadas com uma ou mais variáveis dependentes em relação a uma ou mais variáveis independentes (LIMA, 2008). O método RK consiste na comparação com um polinômio de Taylor, retirando-se as derivadas e avaliando a função em cada iteração (VALLE, 2012). O método RK busca uma melhor aproximação para o valor da derivada considerando mais pontos dentro do intervalo "[xn, xn+1]" (STERZA e BRANDI, 2016), sendo assim descrito por:

$$y_{n+1} = y_n + h \tag{4}$$

" $y_{n+1}$ " é uma constante de inclinação encontrada pelo cálculo de inclinação em diversos pontos no interior do subintervalo. A ordem do método aponta o número de pontos usados em um subintervalo para determinar o valor da inclinação. Aplicando  $x = x_{n+1} = x_n + h$  e  $a = x_n$  na equação (1) sendo n = 4, tem-se:

$$y(x_{n+1}) = y(x_n + h) = y(x_n) + hy'(x_n) + \frac{h^2}{2!}y''(x_n) + \frac{h^3}{3!}y'''(x_n) + \frac{h^4}{4!}y^4(x_n) + \frac{h^5}{5!}y^5(\xi)$$
 [5]

Sendo Runge Kutta de quarta ordem o processo para delimitar as constantes apropriadas com  $\xi \in (t_n, t_{n+1})$ , buscando encontrar as constantes que atendem a [6]:

$$y_{n+1} = y_n h(c_1 k_1 + c_2 k_2 + c_3 k_3 + c_4 k_4)$$
 [6]

Em que as constantes k1, k2, k3 e k4 são dadas por:

$$\begin{cases}
k1 = f(t_n, x_n) \\
k2 = f(t_n + a_1 h, x_n + \beta_1, hk1) \\
k3 = f(t_n + a_2 h, x_n + \beta_2, k1 + \beta_3 hk2) \\
k4 = f(t_n + a_3 h, x_n + \beta_4, k1 + \beta_4 k2 + \beta_5 hk3)
\end{cases}$$
[7]

Resolvendo o sistema, a equação do modelo RK4 é dada por:

$$\begin{cases} y_{n-1} = y_n + \frac{h}{6} f(k1) + 2f(k2) + 2f(k3) + f(k4)); \\ k1 = y_n \\ k2 = y_n + \left(\frac{h}{2}\right) f(k1); \\ 4 = y_n + (h) f(k3) \end{cases}$$
[8]

" $K_1$ " representa o coeficiente angular do extremo esquerdo do intervalo; " $K_2$ " é coeficiente angular do ponto médio; " $K_3$ " é a segunda aproximação do coeficiente angular do ponto médio e " $K_4$ " é o coeficiente angular em ( $y_n + h$ ). Esse método apresenta um elevado custo computacional; desejando reduzir o tempo computacional, aplica-se a metodologia *Fast Crack Bounds* (FCB).

### 2.5 METODOLOGIA "FAST CRACK BOUNDS"

De acordo com Ávila *et al.* (2015), a metodologia FCB tem como objetivo determinar as cotas inferior " $a_{CI}$ " e superior " $a_{CS}$ " para a função de propagação de trinca. As funções cotas aproximam-se de forma acurada da solução numérica aproximada, obtida pelo método numérico de RK4 e devem satisfazer à seguinte desigualdade [9] (MACHADO JR., 2015):

$$\left(a_{CI}(N)\right) \le a(N) \le \left(a_{CS}(N)\right), \forall N \in [N_0, N_1];$$

$$[9]$$

As funções cotas são obtidas a partir da expansão em série de Taylor da função tamanho de trinca, retendo os termos de segunda ordem com resto Lagrange (MACHADO JR., 2015), conforme [11]:

$$a(N) = a_0(N_0) + \frac{da}{dN}(N_0)(N - N_0) + \frac{1}{2}\frac{d^2a}{dN^2}(\eta)(N - N_0)^2, com \, \eta \in [N_0, N_1].$$
 [10]

Sendo "a(N)" o tamanho da trinca, após "N" número de ciclos, " $a_0$ " refere-se ao tamanho inicial da trinca.

Por intermédio das funções de cotas superior e inferior, é possível uma aproximação numérica para a função tamanho de trinca.

### 3 METODOLOGIA

A metodologia é dividida em 3 etapas. A primeira será o levantamento das amostras, sucedido do método FCB aplicado ao modelo de Taira, sendo efetuada sua formulação matemática do problema com intuito de realizar a determinação das cotas inferior e superior para o modelo de trinca.

A segunda etapa ocorrerá dentro de ambiente computacional, sendo o Gnu Octave 7.2.0 o software escolhido para o processo, pois é uma ferramenta de resolução de problemas numéricos complexos lineares e não-lineares, e open source, ou seja, um software livre. Nessa etapa, serão desenvolvidos algoritmos de base, com o intuito de simular os modelos matemáticos propostos, sendo eles FCB e Runge-Kutta de quarta ordem, aplicados ao modelo de propagação de trinca de Taira. No final da simulação, o sistema fornecerá dados para serem estudados e analisados, iniciando a terceira etapa. Os resultados fornecerão uma base de dados para comparar a eficiência do método proposto neste trabalho e do método padrão usado nas literaturas.

### 3.1 LEVANTAMENTO DAS AMOSTRAS

Os dados obtidos para simulação da metodologia FCB são referentes aos materiais das amostras apresentados na tabela 1 e 2, em que se tem a composição química, as propriedades físicas e mecânicas respectivamente, os quais foram extraídos do trabalho de Virkkunen (2001).

Tabela 1: Composição química das amostras

AMOSTRA	MATERIAL	Cr	Ni	Mo	Mn	Si	Outros
A	AISI 304L	17,4	10,2	-	1,6	0,8	-
В	AISI 316	17,9	12,7	2,7	1,33	0,3	-
С	AISI 321	17,8	10,7	0,4	1,6	0,3	0,1Cu;0,5Ti;0,2Co
D	AISI 321	19,6	10	-	0,9	0,7	0,4Ti
E	ASIS 321	19,6	10	-	0,9	0,7	-
F	AISI 347	17,3	9,2	0,4	1,5	0,4	0,4Cu;0,5Cb;0,1Co
G	AISI 347	17,3	9,2	0,4	1,5	0,4	0,4Cu;0,5Cb;0,1Co
Н	3RE60	18,5	4,9	2,9	1,5	1,5	0,1 <b>N</b>
I	ACX-100	23,4	5,3	2,2	0,6	0,6	0,2N

Fonte: Adaptado de Virkkunen (2001).

**Tabela 2**: Propriedade físicas e mecânicas das amostras

AMOSTRA	MATERIAL	Rp (MPa)	Rm (MPa)	E (GPa)	k (W/mK)	$\alpha$ (10 <sup>6</sup> $K^{-1}$ )
	A ICI 204I		` /	,	, ,	
A	AISI 304L	180	460	200	15	16
B	AISI 316	205	510	200	15	16,5
С	<b>AISI 321</b>	180	460	205	15	16
D	AISI 321	205	500	200	15	16
E	<b>ASIS 321</b>	205	500	200	15	16
F	AISI 347	205	510	200	15	16
G	AISI 347	205	510	200	15	16
Н	3RE60	450	730	200	15	14
I	ACX-100	460	660	200	15	13

Fonte: Adaptado de Virkkunen (2001).

Em que " $R_p$ " representa o limite de escoamento e " $R_m$ " a resistência máxima à tração; "E" o módulo de elasticidade, "k" condutividade térmica e " $\alpha$ " difusidade térmica do material.

# 3.2 MÉTODO FAST CRACK BOUNDS APLICADO AO MODELO DE TAIRA

O modelo matemático para evolução da trinca é formulado pelo seguinte PVI:

$$\begin{cases} Encontrar \ a \in C^{1}, tal \ que: \\ \frac{da}{dN} = C \left[ \left( \frac{\Delta \varepsilon}{\varepsilon_{f}} \right) * (\pi * a)^{\frac{1}{2}} \right]^{m} \\ a(N_{0}) = a_{0}. \end{cases}$$
[11]

Usando a expansão em série de Taylor com resto de Lagrange e considerando as seguintes Hipóteses:

$$H_{1}: \Delta \varepsilon(N) = \Delta \varepsilon, \forall N \in [N_{0}, N_{1}];$$

$$H_{2}: f \in C^{1}(\mathbb{R}^{+});$$

$$H_{3}: 0 < f(a_{0}) \leq f(x) \leq f(y), x \leq y \ \forall x, y \in [a_{0}, a_{1}];$$

$$H_{4}: f'(a_{0}) \leq f'(x) \leq f'(y), x \leq y \ \forall x, y \in [a_{0}, a_{1}];$$
[12]

A hipótese  $H_1$  assume que a deformação total é constante; a segunda hipótese  $H_2$  garante que a função de correção do fator de intensidade de deformação é contínua;  $H_3$  estabelece que a função geometria deve ser monótona não decrescente. A quarta hipótese  $H_4$  assegura que a derivada da função geometria seja monotonamente não decrescente. Essas hipóteses definem as bases do teorema que determinará as cotas para a função tamanho de trinca (SANTOS,2019).

**TEOREMA** (**Método FCB aplicado ao modelo de Taira**): Sejam " $f(\cdot)$ " e " $\Delta(\cdot)$ " funções que satisfaçam as hipóteses (H1), (H2), (H3), (H4) "a" \*  $\in$  [a0, a1], então, as cotas superior e inferior são válidas:

$$\begin{cases} a_{cs}(N) = a_0 + \left\{ C \left[ \left( \frac{\Delta \varepsilon}{\varepsilon p} \right) * (\pi * a_0)^{\frac{1}{2}} \right]^m + \frac{1}{2} \left[ mC^2 \left( \frac{\sqrt{\pi} \cdot \Delta \varepsilon}{\varepsilon_f} \right)^{2m} \cdot \left( \frac{(a)^{*m}}{2(a)^*} \right) \right] (N - N_0)^2 \right\} \\ a_{ci}(N) = a_0 + \left\{ C \left[ \left( \frac{\Delta \varepsilon}{\varepsilon p} \right) * (\pi * a_0)^{\frac{1}{2}} \right]^m + \frac{1}{2} \left[ mC^2 \left( \frac{\sqrt{\pi} \cdot \Delta \varepsilon}{\varepsilon_f} \right)^{2m} \cdot \left( \frac{(a_0)^m}{2(a_0)} \right) \right] (N - N_0)^2 \right\} \end{cases}$$
[13]

**Prova**: Das hipóteses (*H*2), (*H*3), (*H*4), por meio da série de Taylor de segunda ordem com resto de Lagrange, segundo Santos (2015), tem-se:

$$a(N) = a_0 + \frac{da}{dN}(N - N_0) + \frac{1}{2} \left(\frac{d^2a}{dN^2}(\eta)\right)(N - N_0)^2, com \, \eta \in [N_0, N_1].$$
 [14]

Com base nas hipóteses (H2), (H3) e (H4), as seguintes desigualdades podem ser escritas:

$$a(S) \le a(t), S \le t \in [N_0, N] \to \left(a(s)\right)^m \le (a(t))^m$$
 [15]

Pelas hipóteses (H2), (H3) e (H4), obtém-se:

$$\left(f(S)\right)^{m} \le \left(f(t)\right)^{m} \to \left(a^{\frac{1}{2}} \cdot f\right)^{m} \le \left(a^{\frac{1}{2}} \cdot f\right)^{m} (t), s \le t \ cm \ s, t \in [N_0, N]$$
 [16]

Desse modo, constata-se que:

$$(\Delta \varepsilon)^m(a(S)) \le (\Delta \varepsilon)^m(a(t)) \tag{17}$$

Uma vez que C > 0:

$$\frac{da}{dN}(s) \le \frac{da}{dN}(t), s \le t \ com \ s, t \ \in [N_0, N]$$
 [18]

A segunda derivada da função tamanho de trinca é:

$$\frac{d^2a}{dN^2} = \frac{d}{dN} \left( \frac{da}{dN} (a) \right) \frac{da}{dN} \left( a(N) \right) = \left[ mC^2 \left( \frac{\sqrt{\pi} \cdot \Delta \varepsilon}{\varepsilon_f} \right)^{2m} \cdot \left( \frac{a^m}{2a} \right) \right]$$
[19]

Fazendo a substituição da equação 19 na equação 14 da expansão de Taylor com resto de Lagrange, obtém-se:

$$a(N) = a_0(N_0) + C \left[ \left( \frac{\Delta \varepsilon}{\varepsilon_f} \right) \cdot (\pi * a)^{\frac{1}{2}} \right]^m (N - N_0) + \frac{1}{2} \left[ mC^2 \left( \frac{\sqrt{\pi} \cdot \Delta \varepsilon}{\varepsilon_f} \right)^{2m} \cdot \left( \frac{a^m}{2a} \right) \right] (N - N_0)^2$$
 [20]

Substituindo a equação 20, na equação 14 temos:

$$\left\{ a_{cs}(N) = a_0 + \left\{ \frac{C \left[ \left( \frac{\Delta \varepsilon}{\varepsilon p} \right) * (\pi * a_0)^{\frac{1}{2}} \right]^m + \left[ \frac{1}{2} \left[ mC^2 \left( \frac{\sqrt{\pi} \cdot \Delta \varepsilon}{\varepsilon_f} \right)^{2m} \cdot \left( \frac{(a)^{*m}}{2(a)^*} \right) \right] (N - N_0) \right\} \right\} (N - N_0)$$
[21]

Corresponde a equação 22 à função de cota, na qual temos o tamanho da trinca inicial acrescido de equação do modelo de Taira, somado à sua segunda derivada [20]; assim, caracteriza-se a série de Taylor de segunda ordem devido à derivada segunda, com resto de lagrange.

## 3.3 IMPLEMENTAÇÃO COMPUTACIONAL

Para comparação e análise dos métodos Runge Kutta, de quarta ordem (RK4), e a metodologia *Fast Crack Bounds* (FCB), aplicado ao modelo de Taira, desenvolve-se um algoritmo no ambiente de software Gnu Octave, versão 7.2.0.

Para obtenção dos resultados, o código foi empregado em um computador com as seguintes características: Processador Intel(R) Core(TM) i5-8300H CPU de 2.30GHz e uma memória RAM de 8GB.

Os parâmetros aplicados ao algoritmo foram retirados dos trabalhos de Virkkunen (2001). Dessa forma, a tabela 3 informa as variáveis utilizadas no modelo de Taira, sendo "m" e "C" parâmetros do material, " $N_1$ " o número de ciclos final da simulação, "a0" o tamanho inicial da trinca e " $\Delta \varepsilon$ " a variação da deformação total do material.

Tabela 3: Dados usados para simulação

AMOSTRA	C (Adm)	m (Adm)	N <sub>1</sub> (Adm)	Δε (Adm)	(mm)	
A	(Mill)	(Main)	$5 \cdot 10^3$	0,0063	(111111)	
В			$\frac{3 \cdot 10^3}{10 \cdot 10^3}$	0,0027	_	
C			$20 \cdot 10^{3}$	0,0040	_	
D			5 · 10	$5 \cdot 10^{3}$	0,0081	
Е	1,6	2,0	$10 \cdot 10^3$	0,0086	$50 \cdot 10^{-5}$	
F			$6 \cdot 10^{3}$	0,0079		
G			$10 \cdot 10^{3}$	0,0078	_	
Н			$40 \cdot 10^{3}$	0,0035	_	
I			$40 \cdot 10^{3}$	0,0033	_	

**Fonte**: Autor (2022).

Um outro dado que se considera ao conceber o algoritmo é a posição da trinca em relação ao material, podendo ser na superfície da amostra, como neste caso, uma placa de largura infinita com trinca central. O termo largura infinita representa que a dimensão da largura da placa é muito superior à dimensão inicial da trinca, sendo assim, utiliza-se um fator de correção para esse caso, o qual será abordado a seguir.

### 4. RESUTADOS E ANÁLISES

### 4.1 PLACA DE LARGURA INFINITA E TRINCA CENTRAL

O problema utiliza a função de correção do fator de intensidade de deformação para o caso de "placa com largura infinita e trinca central", representado na figura 6. Esse fator é demonstrado por Bannantine *et al.* (1989), equação 23.

$$f(a) = 1$$
,  $em(N_0, N_1)$  [22]

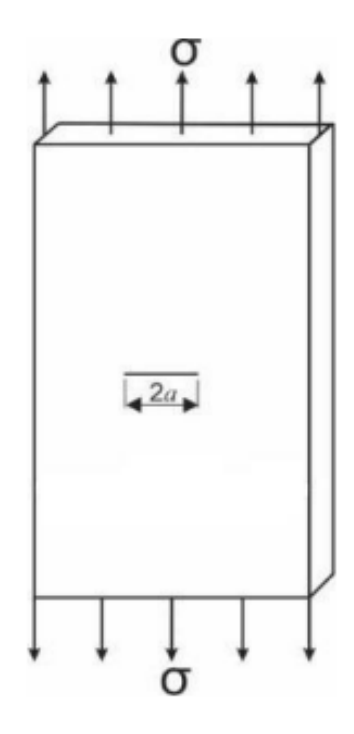


Figura 6: Placa infinita com trinca central

Fonte: Adaptado de Machado Jr. (2015).

Feita a aplicação do fator de correção determinado, serão analisados os dados para o modelo de Taira. Os resultados apresentados serão: materiais analisados, funções do tamanho de trinca resultados obtidos via método numérico RK4 e FCB, respectivamente.

Nota-se que, na equação da cota superior, o valor da cota superior depende do valor inicial de "a \* ". Portanto, a \*> a0; dessa forma, atribuem-se valores para a\*, sendo a\* =  $\beta a$ 0, logo  $\beta$  > 1. Assim, o valor do coeficiente " $\beta$ " não pode exceder a cota superior, o que significa que se deve obter um valor para a cota superior maior que o obtido pelo método de RK4. Esse valor é definido empiricamente (MACHADO JR., 2015).

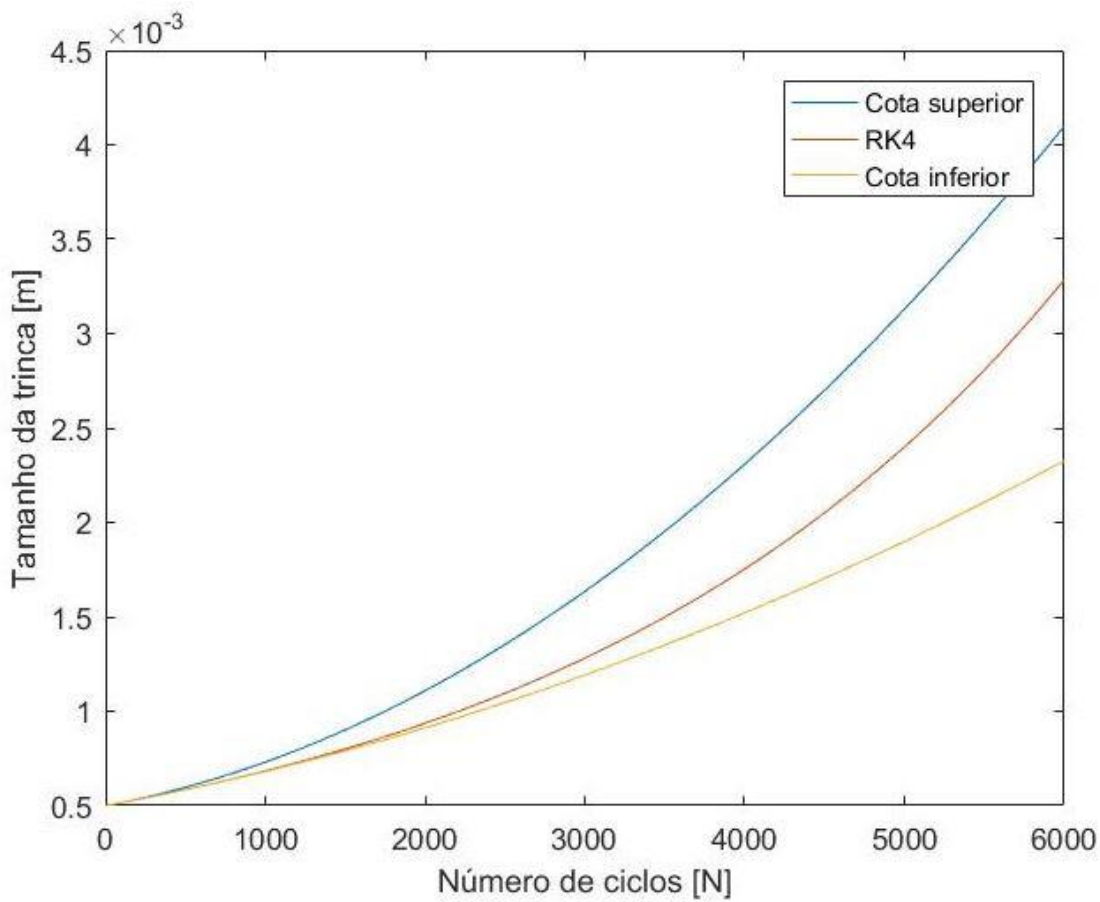
Para aferir o desempenho das cotas, foi definida uma função de "desvio relativo"  $\delta_{inferior, superior}$ :  $\{0,1,...,N\} \rightarrow \mathbb{R}$ , dada por:

$$\delta_{inferior, superior}(N_K) = 100 \left( \frac{a_{cs,ci} - a_{RK4}}{a_{RK4}} \right) (N_K) [\%], \forall N_K \{0, 1 \dots N\}$$
 [23]

Em seguida, serão apresentados os gráficos comparativos entre a metodologia FCB e o método RK4, com o número de ciclos e o tamanho da trinca, além da razão entre os tempos computacionais de ambos os métodos.

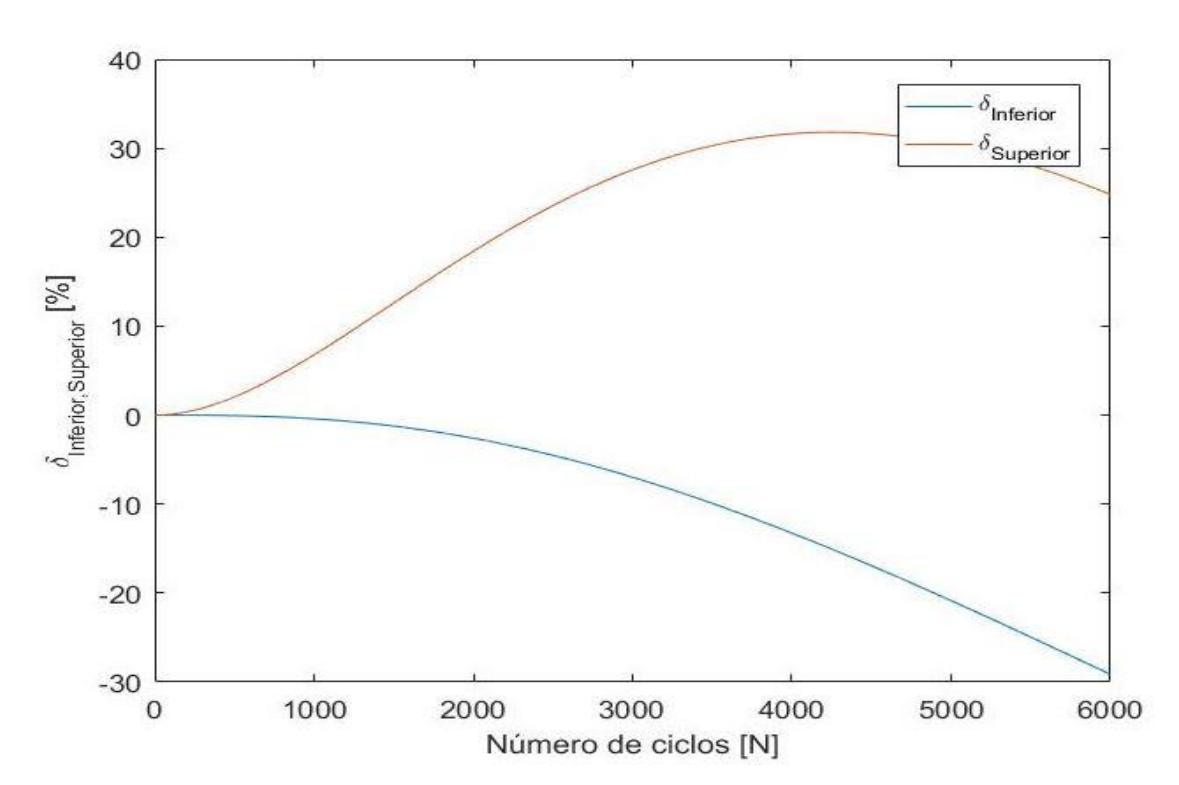
### 4.2 DESEMPENHO DAS COTAS VIA METODOLOGIA FCB

Para realizar a simulação aos materiais apresentados previamente, é preciso definir a variável  $a^*$ , a qual é encontrada de maneira empírica, no intervalo analisado de número de ciclos "N", obtendo-se o menor valor de modo que não viole a solução numérica aproximada de RK4.



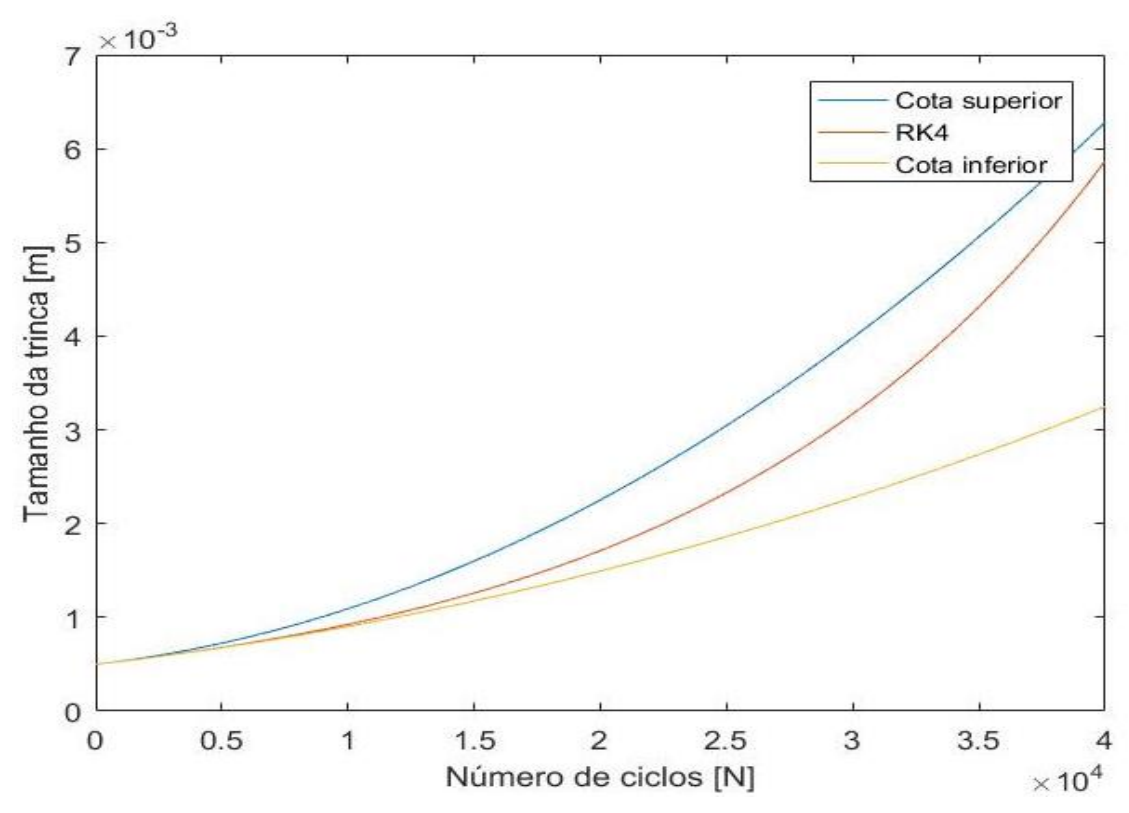
**Figura 7**: Funções cota superior e inferior comparada a solução numérica de RK4 – AMOSTRA F. Com valor de  $a * = 3,0 \ a0$ .

**Fonte**: Autor (2022).



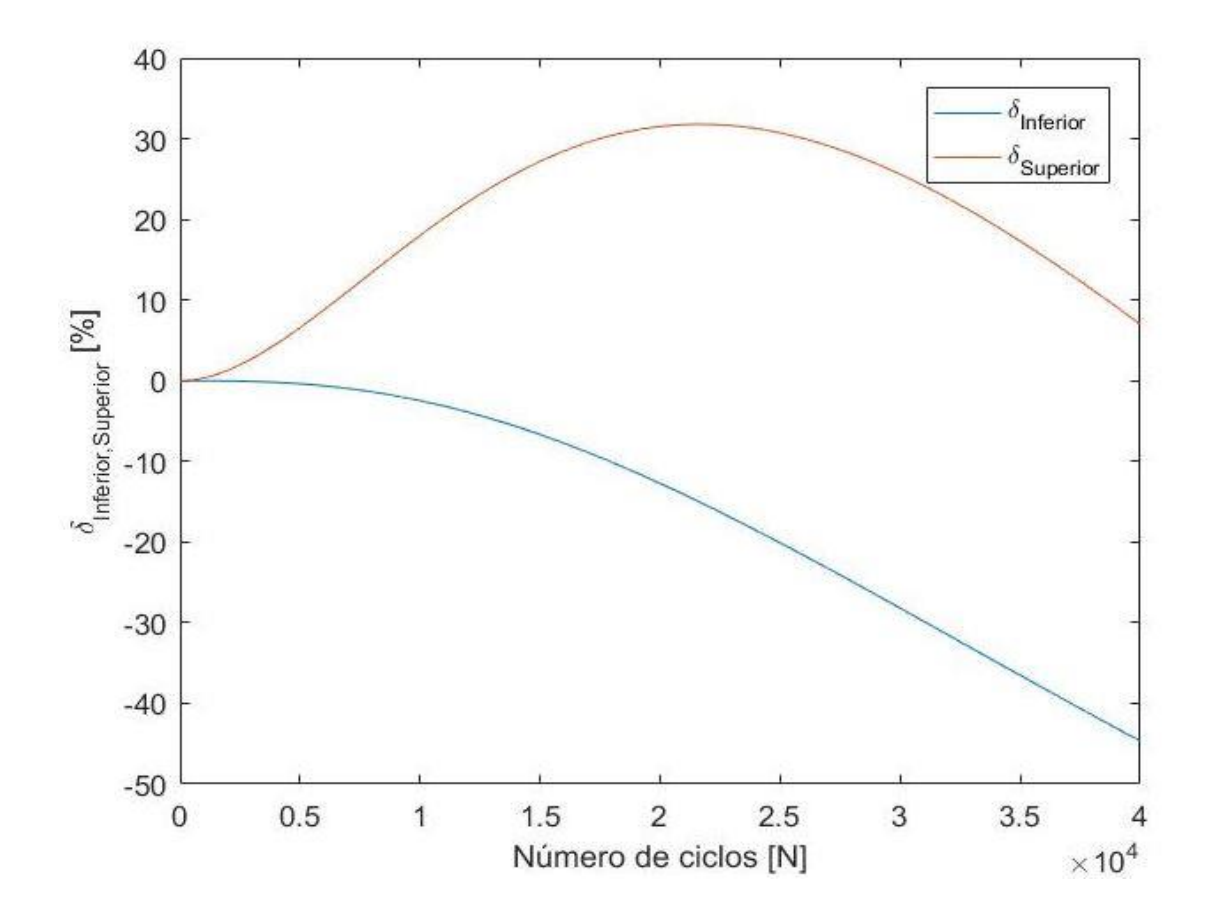
**Figura 8**: – Função desvio relativo entre cotas superior e inferior - AMOSTRA F. Com valor de  $a * = 3.0 \ a0$ 

**Fonte**: Autor (2022).



**Figura 9**: Funções cota superior e inferior comparada a solução numérica de RK4 - AMOSTRA H. Com valor de  $a * = 3,0 \ a0$ .

Fonte: Autor, (2022).



**Figura 10**: Função desvio relativo entre cotas superior e inferior - AMOSTRA H. Com valor de  $a * = 3.0 \ a0$ 

Fonte: Autor, (2022).

### 4.3 SINTESE DOS RESULTADOS

Com os valores obtidos, é possível verificar que o tempo para determinação das cotas via metodologia FCB é superior ao tempo de processamento do método numérico RK4, como demostrado na tabela 3, em que "p" é a razão entre os tempos representada pela equação 24:

$$\rho = \left( \left( \frac{T_{RK4} - T_{FCB}}{T_{FCB}} \right) * 100 \right)$$
 [24]

 $T_{RK4}$  representa o tempo computacional do método numérico RK4 e  $T_{FCB}$ , sendo o tempo computacional do método FCB.

**Tabela 3**: Tempo de execução das amostras

AMOSTRA	RK4 (s)	FCB (s)	ρ (%)
A	0.0089126	0.0006322	1309,77
В	0.0112824	0.0006815	1555,52
С	0.0149793	0.0012035	1143,87
D	0.0088079	0.0006431	1268,37
Е	0.0111069	0.0007663	1349,41
F	0.0091895	0.0006236	1373,62
G	0.0111416	0.0006744	1552,07
Н	0.0231328	0.0008496	2622,79
I	0.0241315	0.0007184	3259,06

**Fonte**: Autor, (2022).

### 5. CONCLUSÃO

O presente artigo trata-se de um trabalho de conclusão de curso para o bacharelado em engenharia mecânica do Centro Universitário FAG, cujo tema de pesquisa é: "Análise do fenômeno de propagação de trinca por fadiga isotérmica do modelo de Taira via metodologia *fast crack bounds*", sob a orientação do Prof. Me. Eng. Bruno dos Santos.

Neste trabalho, foi realizada a aplicação da metodologia FCB ao modelo de Taira para propagação de trinca. A verificação do comportamento das cotas foi feita para oito amostras diferentes, analisadas por meio de gráficos a(N)xN e seus respectivos desvios relativos. Por fim, a metodologia foi comparada à solução numérica do método de RK4.

Nesse contexto, foi possível validar a eficiência da metodologia FCB para análise do fenômeno "tamanho de trinca", em casos de fadiga térmica, para o modelo de propagação de trincas de Taira, devido à eficiência de, no mínimo, 1143,87 (parâmetro a2.0) vezes superior ao método convencional de RK4.

Para as amostras simuladas, o tempo computacional da metodologia FCB foi de até 3259.06 vezes menor que o obtido pelo RK4, Comprovando a eficiência computacional das funções de cota.

### 5.1 TRABALHOS FUTUROS

As informações absorvidas no desenvolvimento deste artigo de conclusão de curso podem ser acrescidas por meio das seguintes recomendações:

- i. Neste projeto, a metodologia FCB foi aplicada ao modelo de Taira. Portanto, sugere-se que a metodologia seja aplicada a outros modelos matemáticos, para, assim, aumentar a base de dados de comparação e validar cada vez mais a metodologia.
- ii. Foi utilizado, neste trabalho, baseado na MFLE, apenas um modo de carregamento, podendo ser aplicado aos outros dois modos para obtenção de mais resultados.
- iii. Por fim, empregar a metodologia para outros tipos de materiais, buscando diversidade de características físicas, logo, outras propriedades.

### 6. REFERÊNCIAS

ALVARENGA JÚNIOR, A. Avaliação Experimental Dos Efeitos Da Fadiga Térmica Nas Propriedades Mecânicas De Um Aço Inoxidavel Austenítico. 2006. 145 f. Tese (Doutorado em Engenharia Mecânica) — Universidade Federal de Minas Gerais, Belo Horizonte, 2006

BANNANTINE, J. A.; COMER, J. J.; HANDROCK, J. L. Fundamentals of Metal Fatigue Analysis. Prentice Hall: [s. l.] 1989

CALLISTER, W. D. Fadiga. In: CALLISTER, W. D. Ciência e engenharia de materiais: Introdução. 5. ed. Utah: Ltc, 1999. p. 166-185

CARDOSO, P. C. **Determinação do Parâmetro Relevante para Caracterização de Dano em Fadiga em Aço Inoxidável Austenítico**. 2016. 68 f. Trabalho de Conclusão de Curso (Bacharelado em Engenharia Mecânica) — Universidade Federal do Rio de Janeiro, Rio de Janeiro, 2016.

ENGLER-PINTO JÚNIOR, Carlos Carvalho; SPINELLI, Dirceu (comp.). **Isothermal** and thermomechanical fatigue of a nickel-base superalloy: fadiga isotérmica e termomecânica de uma superliga à base de niquel. Tecnologia em Metalurgia, Materiais e Mineiração, São Paulo, v. 11, p. 125-130, 2014.

MACHADO JUNIOR, W. M. Aplicação da Metodologia Numérica "Fast Bounds Crack" para uma Estimativa Eficiente da Evolução do Tamanho de Trinca. 2015.

66 f. Dissertação (Mestrado em Engenharia Mecânica) — Universidade Tecnológica Federal do Paraná, Curitiba, 2015.

MENEGAZZO HENRIQUE, G. Analise teórica e numérica do fenômeno de fadiga térmica do modelo de Solomon via metodologia "Fast Crack Bounds". 2021. Trabalho de Conclusão de Curso – Centro Universitário Fundação Assis Gurgacz, Cascavel, 2021

ROSA, E. Análise de resistência mecânica de peças e componentes estruturais: Mecânica da Fratura e Fadiga. Florianópolis: Grante, 2002.

RIVA, Ikaro dos Reis. Análise de fadiga de estruturas metálicas com ênfase em offshore. 2004. 160 f. TCC (Graduação) - Curso de Engenharia Civil, Departamento de Mecânica Aplicada A Estruturas, Universidade Federal do Rio de Janeiro Escola Politécnica, Rio de Janeiro, 2004.

SANTOS, B. Quantificação Da Incerteza Do Modelo De Forman Via Metodologia "Fast Crack Bounds". 2019. 105 f. Dissertação (Mestrado em Engenharia Mecânica) — Universidade Tecnológica Federal do Paraná, Curitiba, 2019.

SPERA, D. A. **Thermal Fatigue of Materials and Components**. Pensilvânia: ASTM International, 1976;

STERZA, R. L; BRANDI, A. C. Comparação entre métodos numéricos: Runge-Kutta de quarta ordem e previsor-corretor. C.O.D. – Revista Eletrônica Paulista de Matemática, Bauru, v. 7, p. 12-22, dez. 2016. DOI: 10.21167/cqdvol7ermac201623169664rlsacb1222. Disponível em: http://www.fc.unesp.br/#!/departamentos/matematica/revista-cqd/. Acesso em: 27 maio 2021.

STROHAECHER, T. R. **Mecanica da fratura**- Escola de engenharia da Universidade Federal do Rio Grande do Sul Laboratório de metalurgia física.

TAIRA, Shuji; FUJINO, Motoaki. Effect of Temperature on the Rate of Fatigue Crack Propagation in Steels during Low Cycle Fatigue\*. Transactions Isij, [s. /], v. 16, p. 147-152, 1976.

VALLE, K. N. F. **Métodos numéricos de Euler e Runge-Kutta**. 2012. 40 f. Monografia (Pós-Graduação em Matemática para professores com ênfase em cálculo) — Universidade Federal de Minas Gerais, Belo Horizonte, 2012

VIRKKUNEN, I. **Thermal Fatigue of Austenitic and Duplex Stainless Steels**. 2001. 115 f. Tese (Doutorado em Engenharia Mecânica) – Department Of Mechanical Engineering, Helsinki University Of Technology, Spoo, 2001.

WULPI J. DONALD, Understanding How Components Fail 2 ed. 1999